

Risultati recenti sulla violazione di CP nei decadimenti del B_s^0

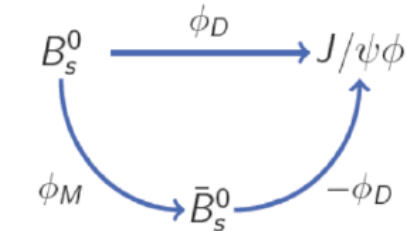
Marta Calvi (Università di Milano Bicocca e INFN)
LHCb Collaboration

CPV nel B_s e Nuova Fisica

- La differenza di fase tra il decadimento del B_s con e senza mixing, non conserva CP.
- Nel Modello Standard:

$$\text{con } \beta_s = \arg \left(-\frac{V_{ts} V_{tb}^*}{V_{cs} V_{cb}^*} \right)$$

$$\phi_s^{\text{SM}} \approx -2\beta_s$$



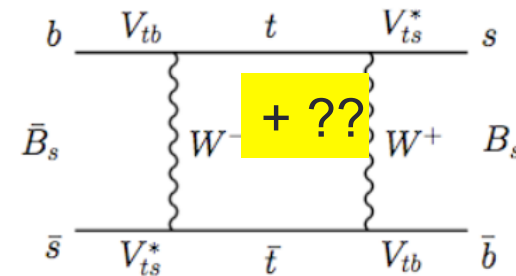
$$\phi_s = \Phi_M - 2\Phi_D$$

molto piccola e calcolata precisamente: $2\beta_s = 0.036 \pm 0.002 \text{ rad}$

J.Charles et al
PRD84(2011)

- Contributi aggiuntivi di diagrammi a pinguino in $B_s \rightarrow J/\psi \phi \sim 10^{-4} - 10^{-3}$
- La presenza di nuove particelle nel diagramma a box può dar luogo ad una fase aggiuntiva:

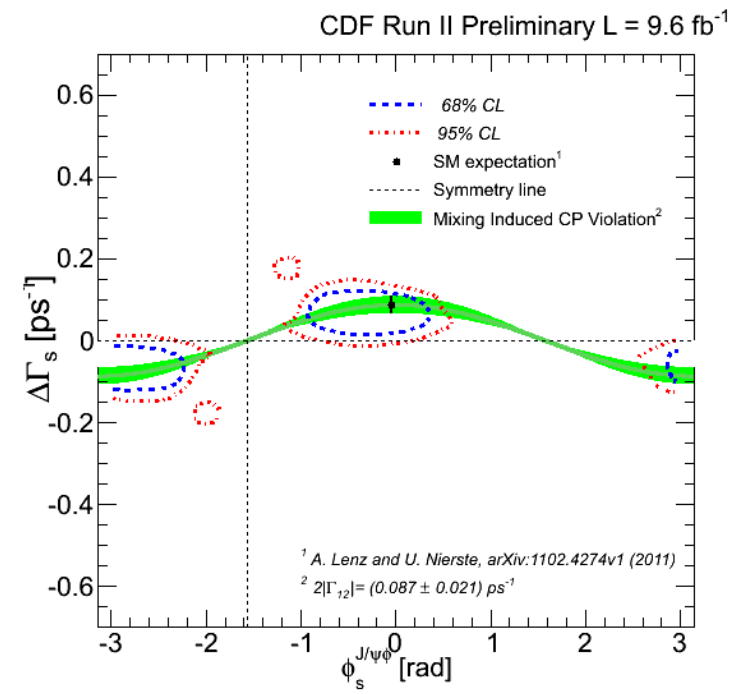
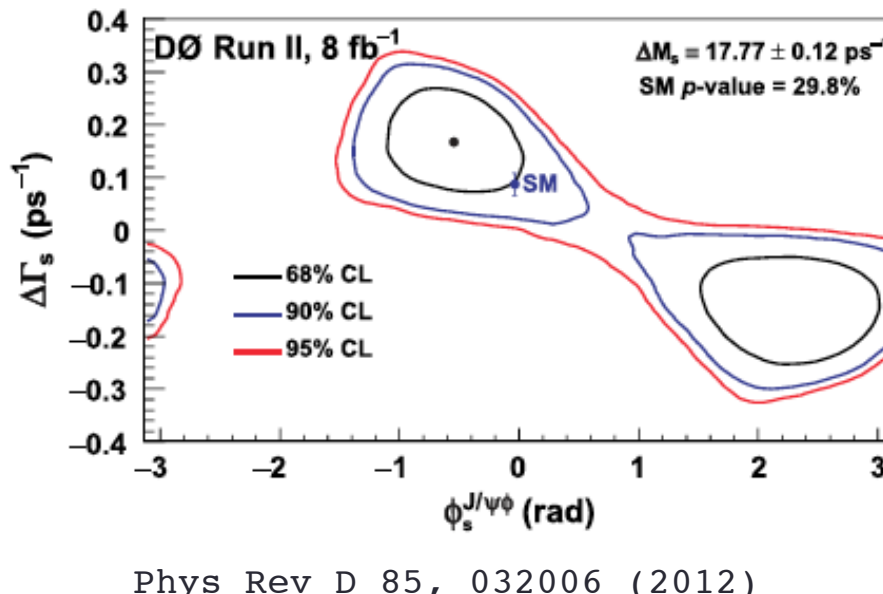
$$\phi_s = \phi_s^{\text{SM}} + \phi^{\text{NP}}$$



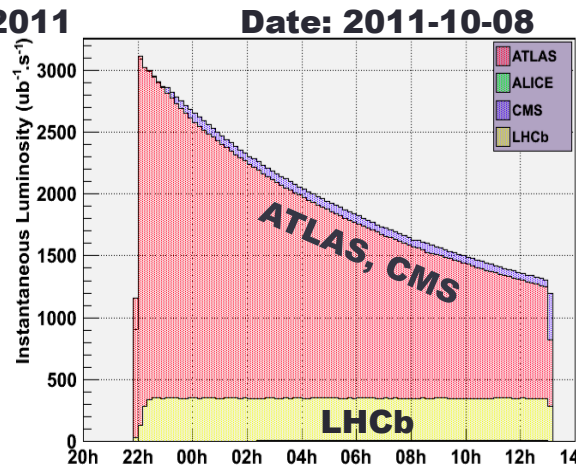
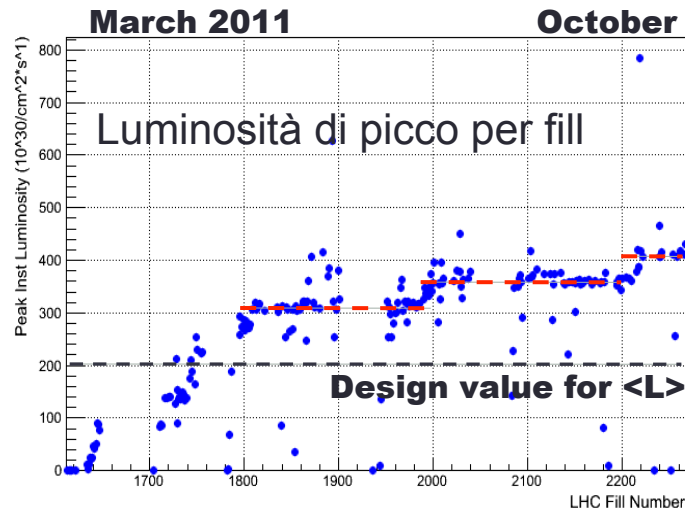
- Una misura di ϕ_s “grande” è segnale chiaro di nuova fisica

ϕ_s da $B_s \rightarrow J/\psi(\mu\mu)\phi(KK)$ al Tevatron

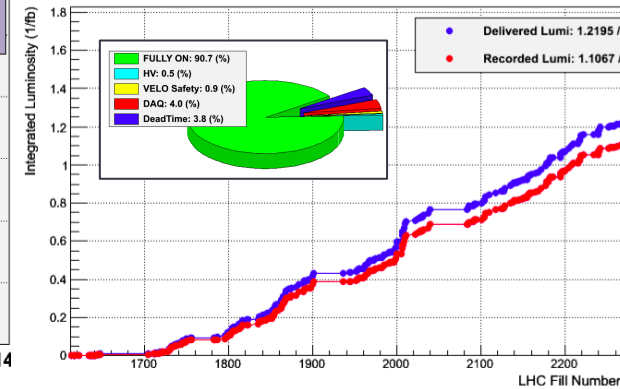
- Run II completato il 30/11/2011, ricchissima produzione di risultati nella Fisica del Flavour, analisi di tutti i dati in arrivo.
- Aggiornamento di D0 su ϕ_s a 8 fb^{-1} .
- Aggiornamento di CDF su ϕ_s a $9.6 \text{ fb}^{-1} \rightarrow$ talk di L. Sabato



LHCb: run 2011



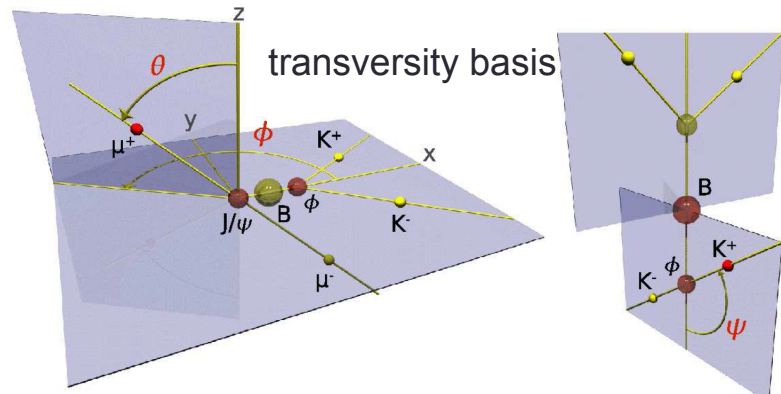
Delivered: 1.2 fb^{-1}
On tape: 1.1 fb^{-1}



- Livellamento della Luminosità istantaneo a LHCb tramite separazione verticale dei fasci.
- $\langle L \rangle \sim 2.7 \times 10^{32} \text{ cm}^{-2}\text{s}^{-1}$ superiore al valore di disegno.
- Pile-up (numero interazioni pp visibili per bunch crossing) ~ 1.6
- Efficienza DAQ $\sim 91\%$, efficienza del rivelatore $\sim 99\%$.
- Output HLT: $\sim 1\text{kHz}$ beauty, $\sim 1\text{kHz}$ charm, $\sim 1\text{kHz}$ altro
- LHC & LHCb ripartiti con successo nel 2012!

$B_s \rightarrow J/\psi \phi(KK)$

- $B_s \rightarrow J/\psi KK$ stato finale con componenti **CP-pari e CP-dispari**, richiede analisi angolare per poterle distinguere



KK in P-wave: ampiezze $A_{\perp}(t)$, $A_{\parallel}(t)$, $A_0(t) \rightarrow$ CP-dispari o CP-pari
 KK in S-wave: ampiezza $A_S(t) \rightarrow$ CP-dispari

$$\frac{d^4\Gamma(B_s^0 \rightarrow J/\psi \phi)}{dt d\Omega} \propto \sum_{k=1}^{10} h_k(t) f_k(\Omega)$$

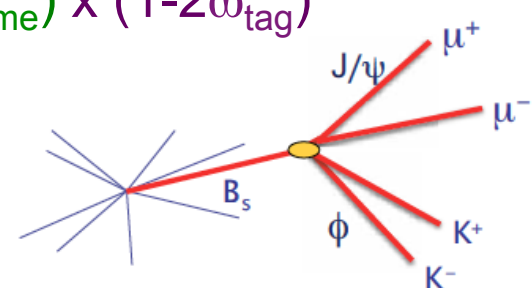
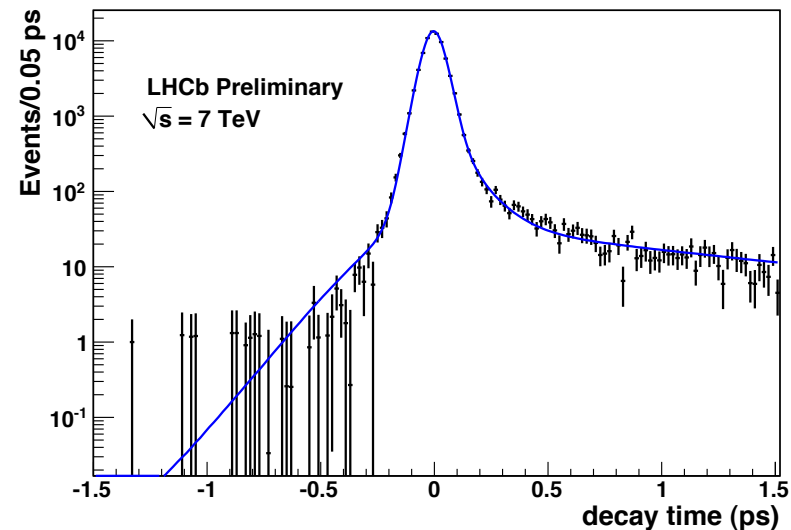
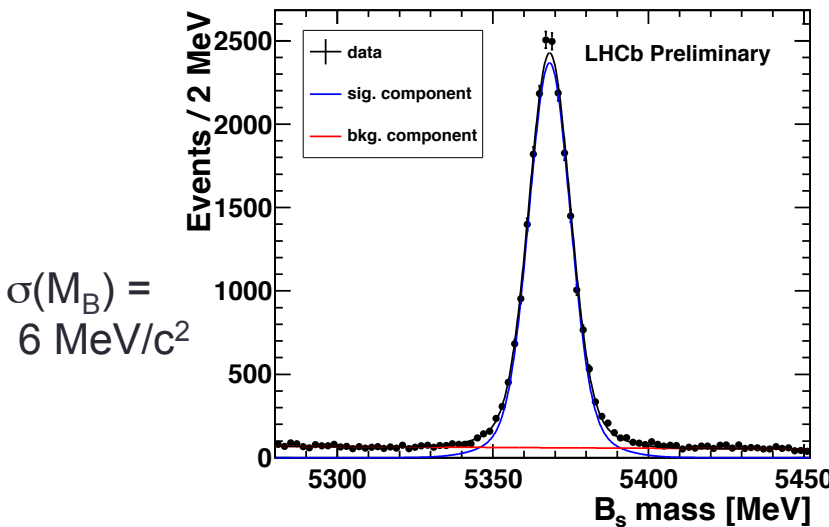
$$h_k(t) = N_k e^{-\Gamma_s t} [c_k \cos(\Delta m_s t) + d_k \sin(\Delta m_s t) + a_k \cosh(\frac{1}{2}\Delta\Gamma_s t) + b_k \sinh(\frac{1}{2}\Delta\Gamma_s t)]$$

- 10 parameteri fisici

$$\left[\begin{array}{l} \phi_s \\ \Gamma_s = (\Gamma_L + \Gamma_H) / 2 = \tau_{Bs}^{-1} \\ \Delta\Gamma_s = \Gamma_L - \Gamma_H \\ \Delta m_s = M_H - M_L \\ 3 \text{ rapporti di ampiezze} \\ 3 \text{ differenze di fase forti} \end{array} \right] \quad (\text{per i due autostati di massa } B_L \text{ e } B_H)$$

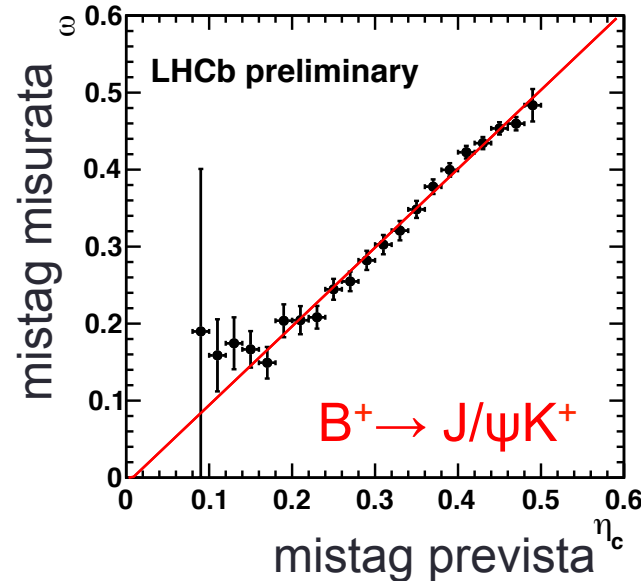
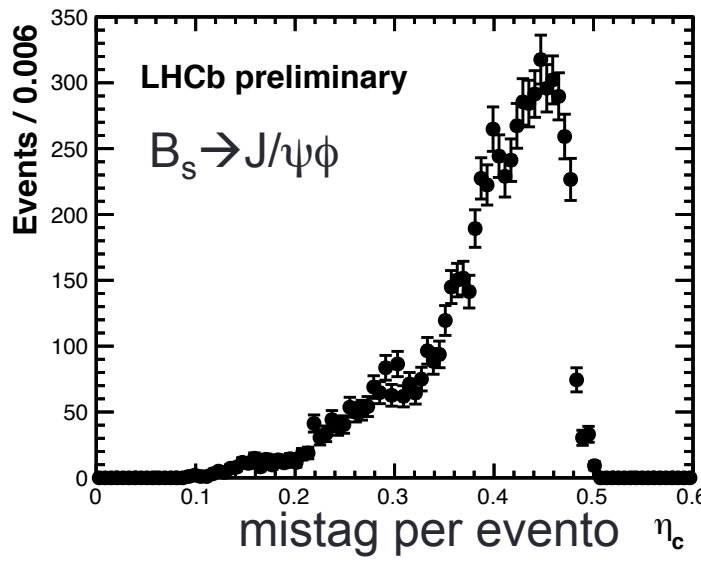
ϕ_s da $B_s \rightarrow J/\psi \phi$ ad LHCb

- Fondamentalmente si misura: $\sin(\phi_s)\sin(\Delta m_s t) \times D(\sigma_{\text{time}}) \times (1 - 2\omega_{\text{tag}})$
 → cruciali: risoluzione temporale, flavour tagging
- Nuova misura LHCb su 1fb^{-1} (tutto 2011)
- Selezione segnale “cut based”: 21.200 eventi con $t > 0.3\text{ps}$, molto puliti.
- Risoluzione temporale evento per evento, calibrata sui dati con $J/\psi \rightarrow \mu\mu$
 risoluzione effettiva: $\sigma_{\text{time}} \sim 45\text{ fs}$



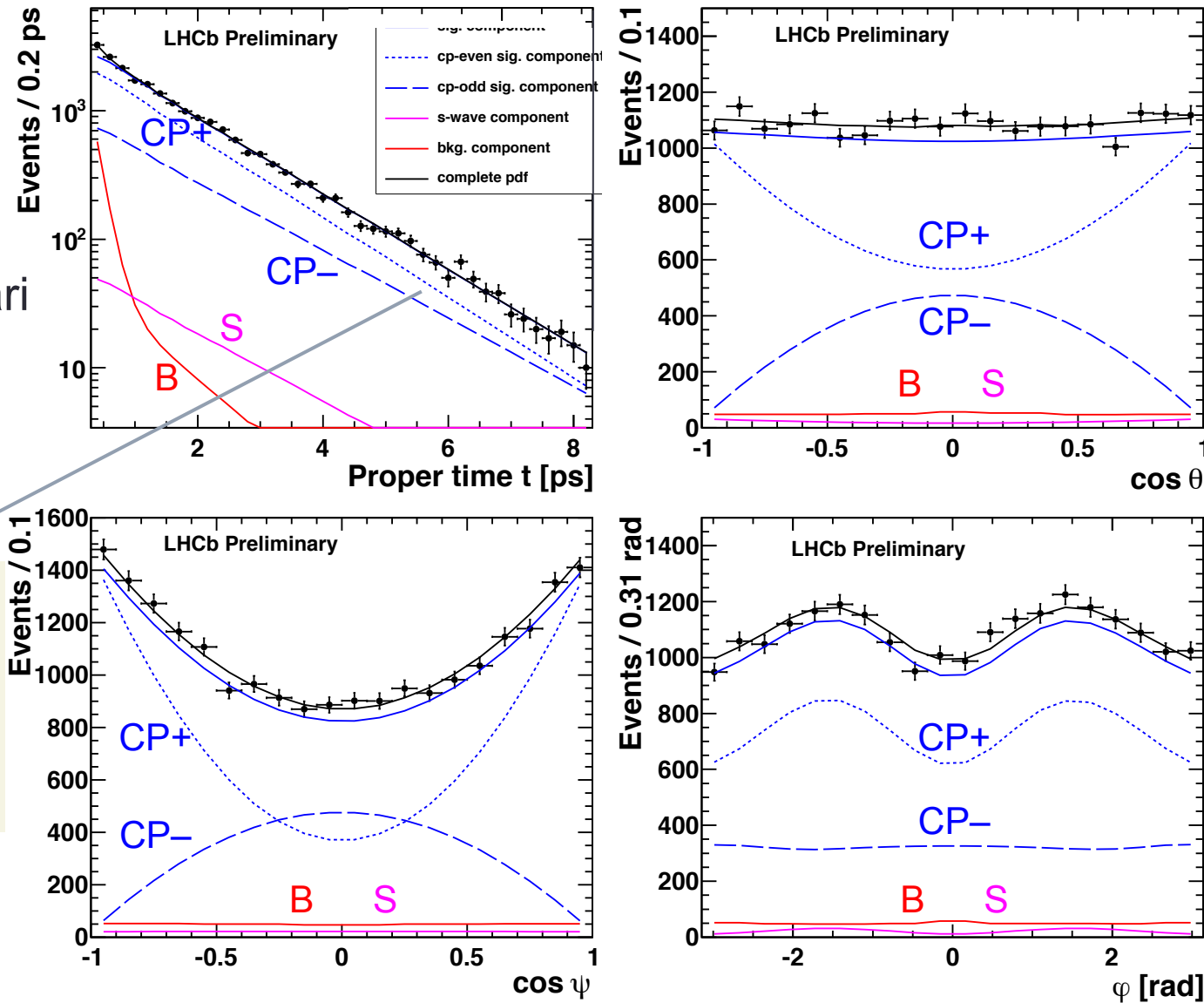
Flavour Tagging a LHCb

- Separazione di B^0 e \bar{B}^0 necessaria per sensibilità a ϕ_s
- “Opposite Side Tagging”: sfrutta la produzione $pp \rightarrow b\bar{b}$ e i decadimenti del b opposto: semileptonici, $b \rightarrow c \rightarrow K$, e ricostruzione inclusiva di vertici secondari
- Nel fit probabilità di mistag per evento, calcolata da NNet. Calibrata sui dati con diversi canali di controllo (\rightarrow poster A.Falabella)
- Tagging power per $B_s \rightarrow J/\psi \phi$: $\varepsilon(1-2\omega_{tag})^2 = (2.29 \pm 0.07 \pm 0.26)\%$



Fit con 1fb^{-1}

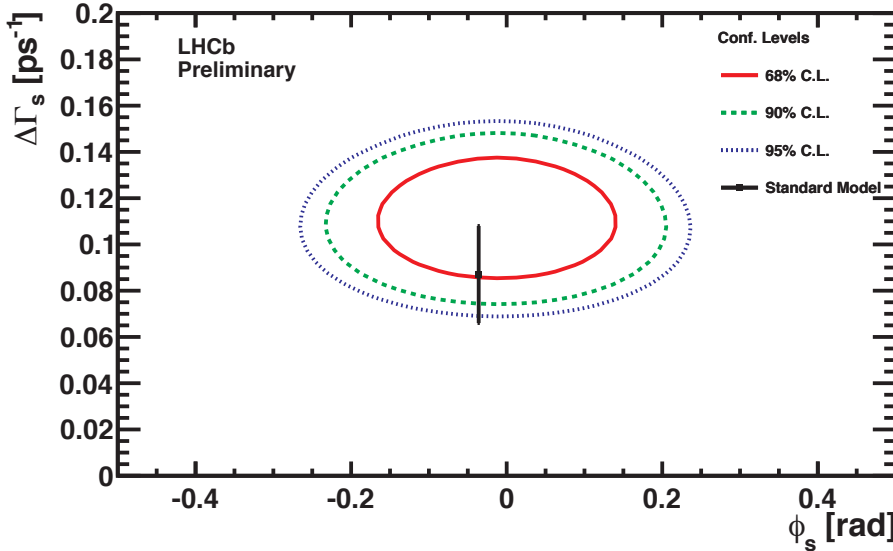
Fit a
massa, tempo
distribuzioni angolari



Prima osservazione
 $>5\sigma$ di $\Delta\Gamma_s \neq 0$
“Gli stati CP– vivono
piu’ a lungo che gli
stati CP+”

ϕ_s da $B_s \rightarrow J/\psi \phi$

LHCb-CONF-2012-002



Parameter	Value	Stat.	Syst.
Γ_s [ps^{-1}]	0.6580	0.0054	0.0066
$\Delta\Gamma_s$ [ps^{-1}]	0.116	0.018	0.006
$ A_\perp(0) ^2$	0.246	0.010	0.013
$ A_0(0) ^2$	0.523	0.007	0.024
F_S	0.022	0.012	0.007
δ_\perp [rad]	2.90	0.36	0.07
δ_\parallel [rad]	[2.81, 3.47]		0.13
δ_s [rad]	2.90	0.36	0.08
ϕ_s [rad]	-0.001	0.101	0.027

	Γ_s	$\Delta\Gamma_s$	$ A_\perp ^2$	$ A_0 ^2$	ϕ_s
Γ_s	1.00	-0.38	0.39	0.20	-0.01
$\Delta\Gamma_s$		1.00	-0.67	0.63	-0.01
$ A_\perp(0) ^2$			1.00	-0.53	-0.01
$ A_0(0) ^2$				1.00	-0.02
ϕ_s					1.00

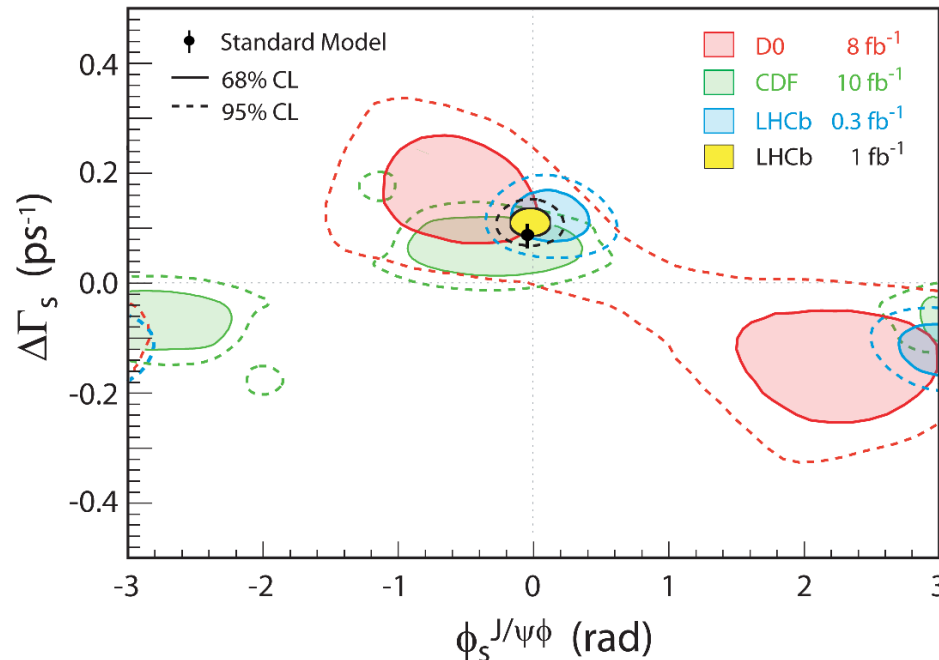
- $\Delta m_s = 17.63 \pm 0.11 \text{ ps}^{-1}$ vincolato alla misura di LHCb in $B_s \rightarrow D_s \pi$, ma è possibile misurare Δm_s anche in questo stesso fit.
- Soluzione con $\Delta\Gamma_s > 0$:

$$\Gamma_s = 0.658 \pm 0.005 \text{ (stat)} \pm 0.007 \text{ (syst)} \text{ ps}^{-1}$$

$$\Delta\Gamma_s = 0.116 \pm 0.018 \text{ (stat)} \pm 0.006 \text{ (syst)} \text{ ps}^{-1}$$

$$\phi_s = -0.001 \pm 0.101 \text{ (stat)} \pm 0.027 \text{ (syst)} \text{ rad}$$

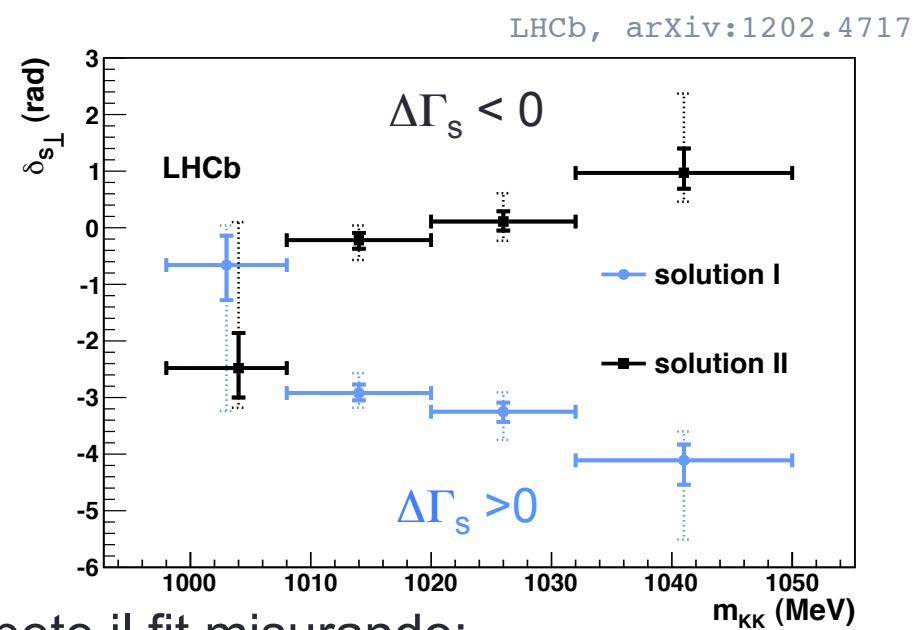
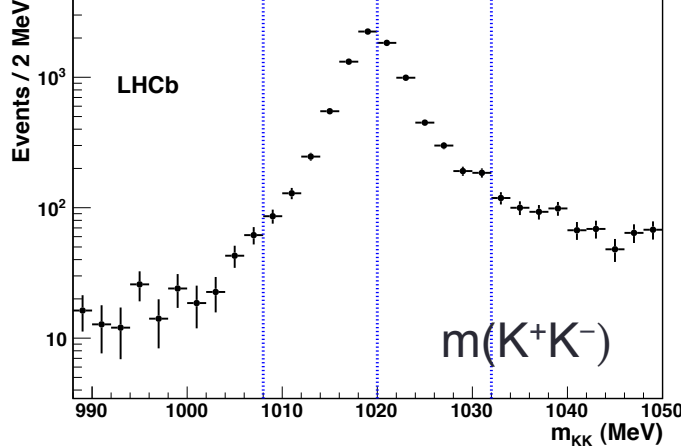
ϕ_s da $B_s \rightarrow J/\psi \phi$: visione globale



- Prossimo update LHCb:
 - Aumento event yield: selezione eventi con analisi multivariata, ampliamento linee di trigger usate.
 - Aggiunta “same-side kaon” tagging: ottimizzazione e calibrazione in corso con misura del mixing del B_s .
- Attesi altri $\sim 1.5 \text{ fb}^{-1}$ a $\sqrt{s}=8\text{TeV}$ nel 2012.

Determinazione del segno di $\Delta\Gamma_s$

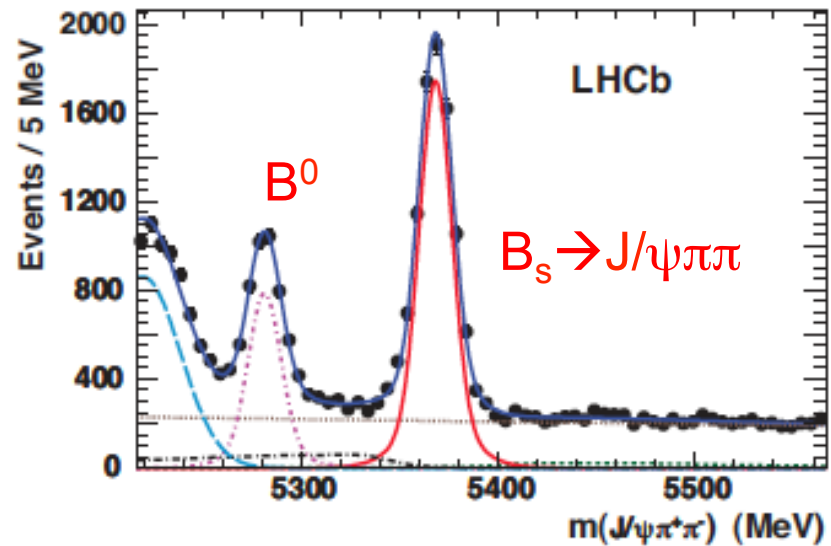
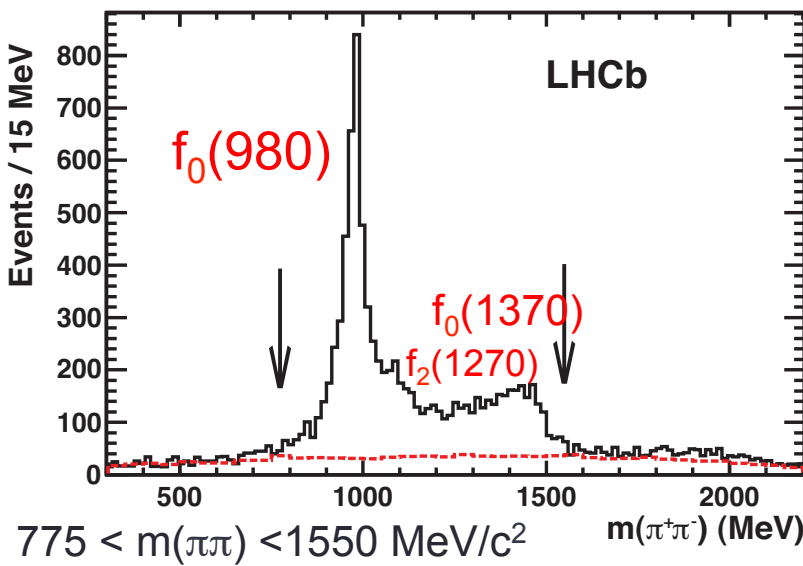
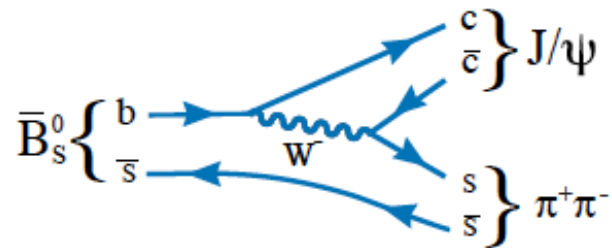
- Due soluzioni ai fit per l'ambiguità nelle decay rates: $(\phi_s, \Delta\Gamma_s) \rightarrow (\pi - \phi_s, -\Delta\Gamma_s)$
- L'ambiguità viene risolta usando l'interferenza tra onda-P e onda-S in range di $m(K^+K^-)$ esteso attorno la risonanza $\phi(1020)$



- Per ciascuno dei 4 bins di massa si ripete il fit misurando:
 - frazione onda-S
 - differenza relativa di fase forte: $\delta_{S\perp} = \delta_S - \delta_\perp$
- $\delta_{S\perp}$ è prevista decrescere rapidamente → scelta la soluzione con $\Delta\Gamma_s > 0$

ϕ_s da $B_s \rightarrow J/\psi \pi^+ \pi^-$

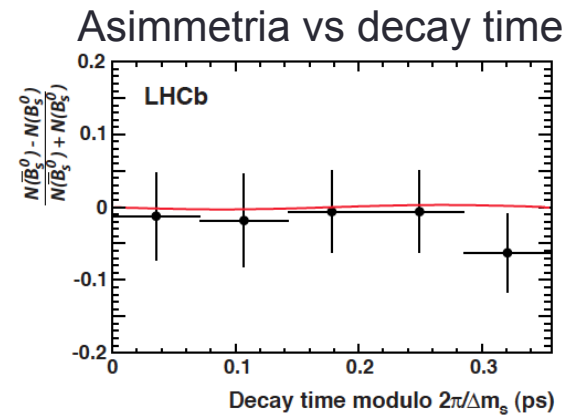
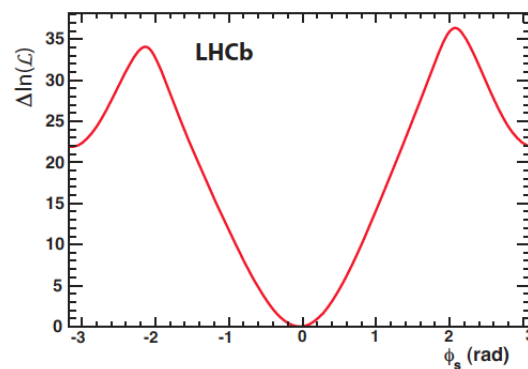
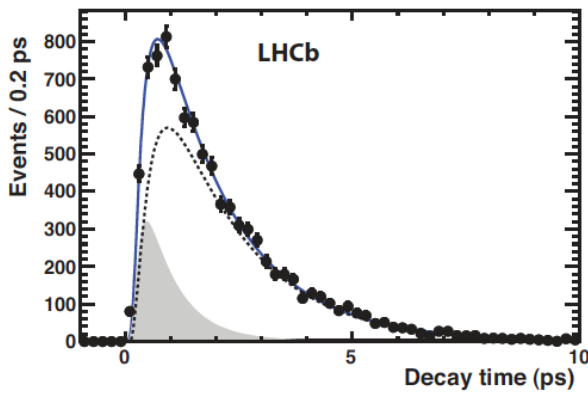
- $B_s \rightarrow J/\psi f_0$ osservato per la prima volta a LHCb.
Con 0.4 fb^{-1} misurato ϕ_s in $B_s \rightarrow J/\psi f_0$.
- Misura aggiornata a 1 fb^{-1} usando più largo range di massa $\pi\pi$.
- Analisi Dalitz dimostra che lo **stato finale è 97.7% CP-dispari** @95% C.L.
→ Non necessita di analisi angolare. Contributo di $f_0(980) \sim 70\%$.
- ~ 7400 eventi di segnale (selezione con BDT)



ϕ_s da $B_s \rightarrow J/\psi \pi^+ \pi^-$

- Fit a massa e tempo.
- Input Γ_s e $\Delta\Gamma_s$ da analisi $B_s \rightarrow J/\psi \phi$.

Resonance	Normalized fraction (%)
$f_0(980)$	69.7 ± 2.3
$f_0(1370)$	21.2 ± 2.7
non-resonant $\pi^+ \pi^-$	8.4 ± 1.5
$f_2(1270)$, $\Lambda = 0$	0.49 ± 0.16
$f_2(1270)$, $ \Lambda = 1$	0.21 ± 0.65



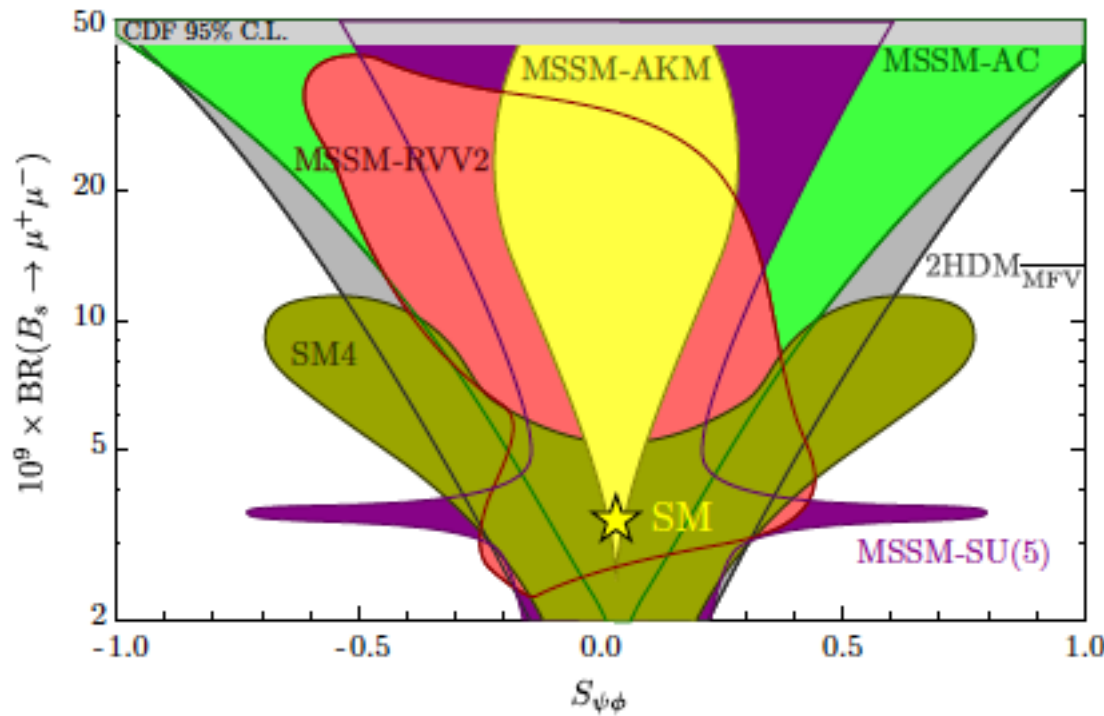
$B_s \rightarrow J/\psi \pi\pi$

$$\phi_s = -0.02 \pm 0.17 \text{ (stat)} \pm 0.02 \text{ (syst)} \text{ rad}$$

Combinato
con $B_s \rightarrow J/\psi \phi$

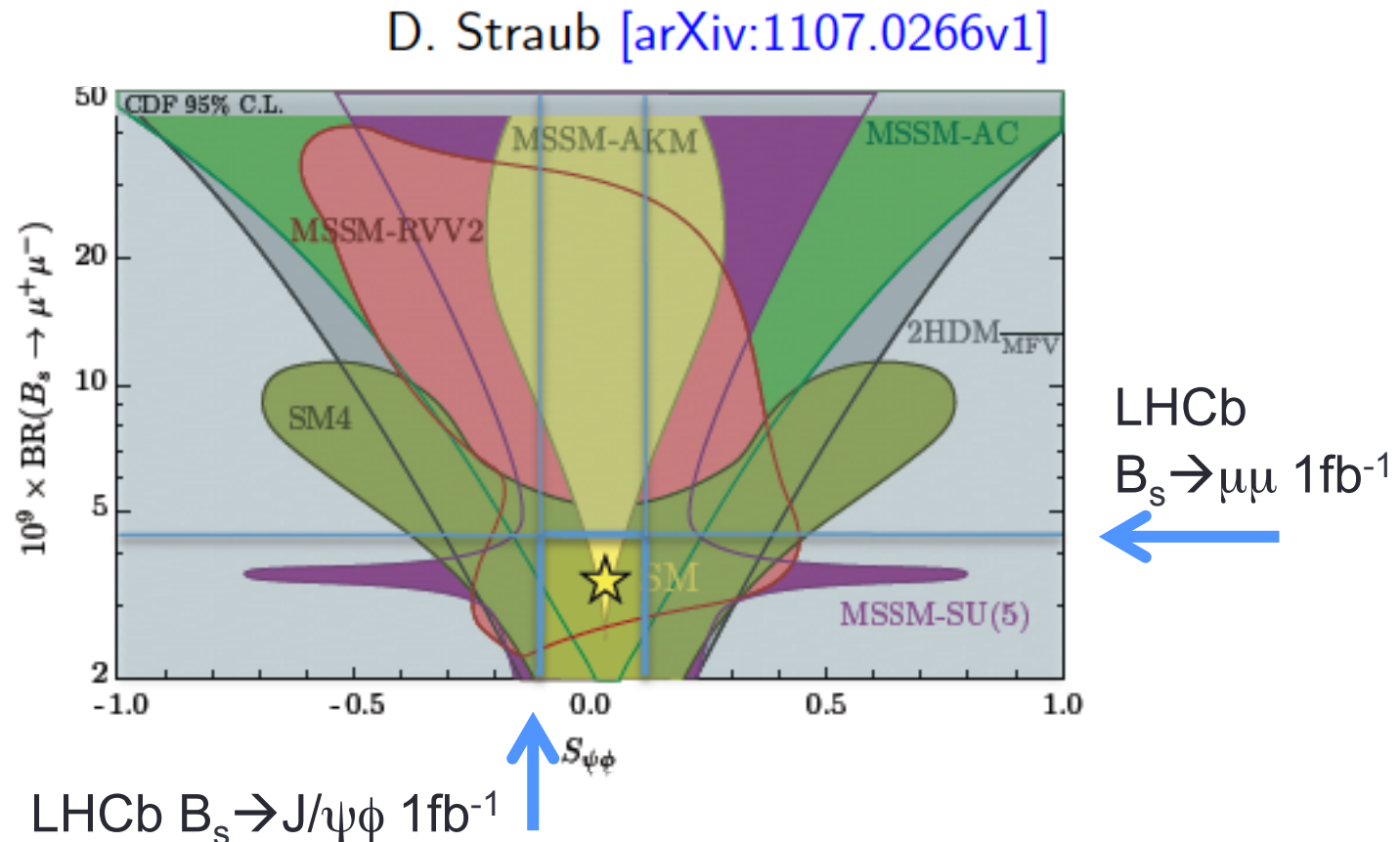
$$\phi_s = -0.002 \pm 0.083 \text{ (stat)} \pm 0.027 \text{ (syst)} \text{ rad}$$

Implicazioni: un esempio



D.Straub [arXiv:1107.0266]. Correlazione tra $\text{BR}(B_s \rightarrow \mu\mu)$ e ϕ_s in diversi modelli: SM4, two-Higgs con fasi flavour-blinded e modelli SUSY.

Implicazioni: un esempio



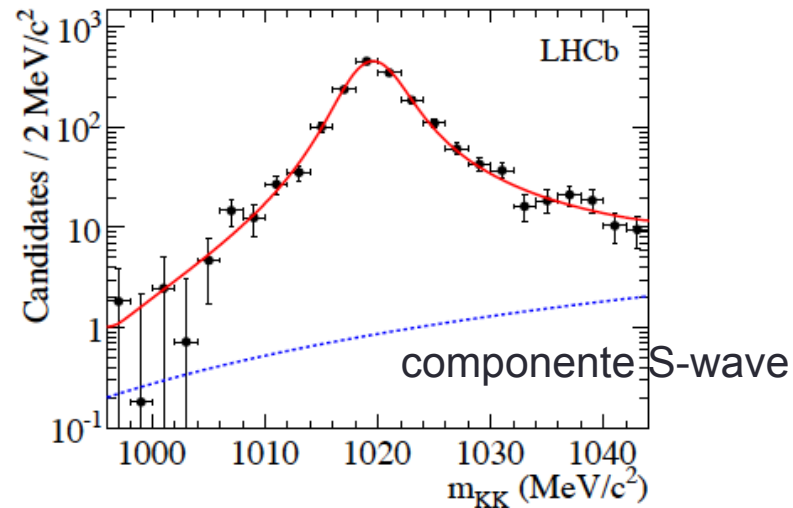
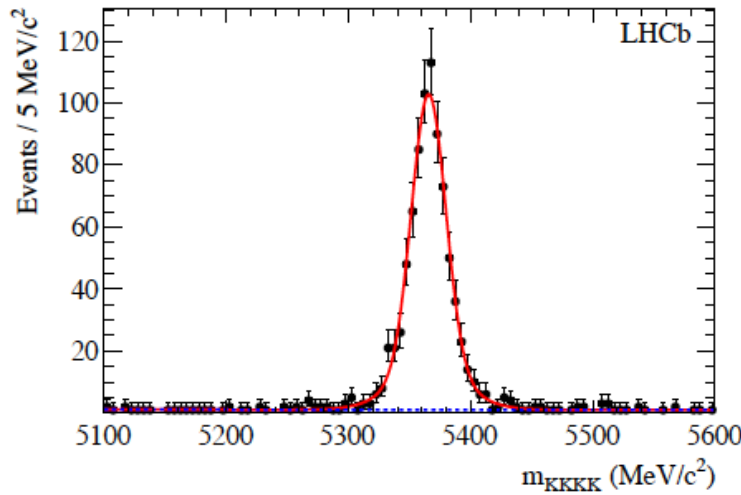
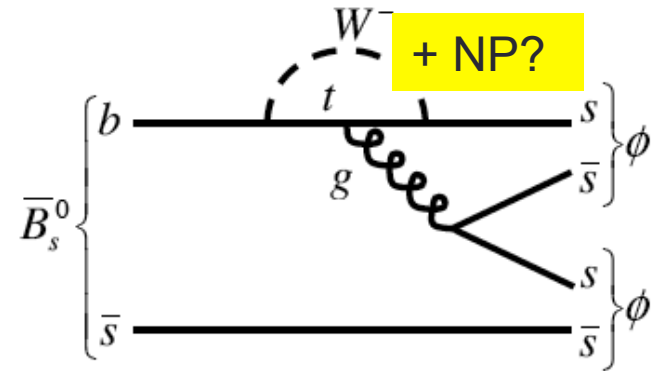
$B_s \rightarrow \phi\phi$

- Canale promettente per ricerca di NP.

- Nel MS la CPV ≈ 0

$$\phi_{Bs \rightarrow \phi\phi}^{\text{SM}} \approx 2 \arg(V_{ts}^* V_{tb}) - \arg(V_{ts} V_{tb}^*) = 0$$

- Segnale molto pulito ~ 800 eventi.

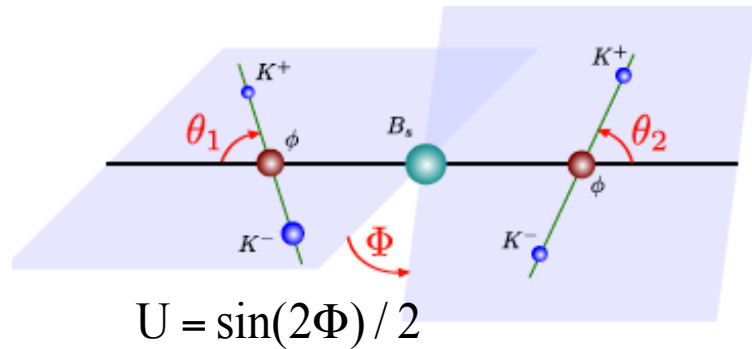


- Per studio completo di CPV necessaria analisi angolare, con flavour tagging, dipendente dal tempo.
- Smoking gun: asimmetria nei tripli prodotti, funzioni che violano CP.

$B_s \rightarrow \phi \phi$

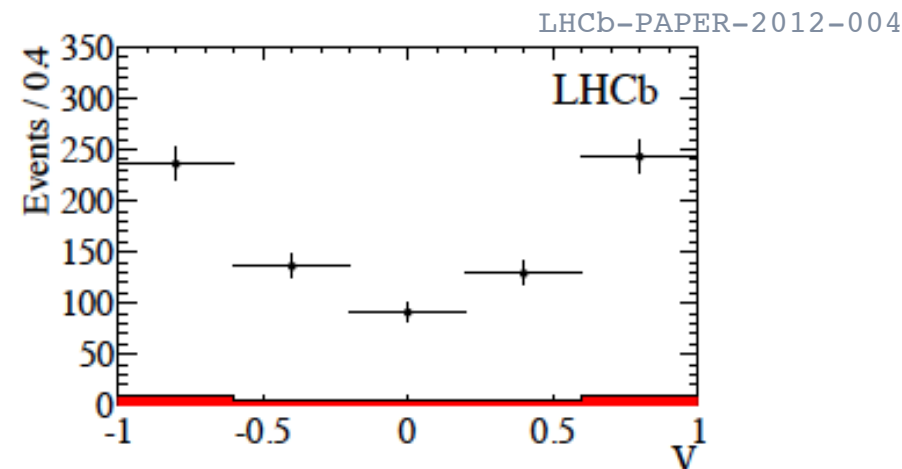
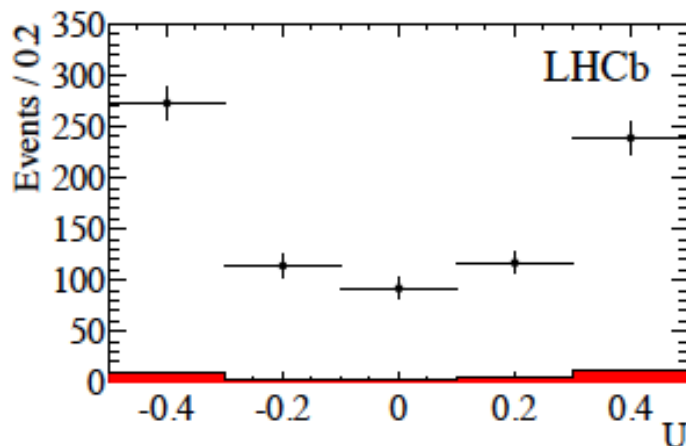
$$A_U = \frac{N(U > 0) - N(U < 0)}{N(U > 0) + N(U < 0)}$$

e simile per A_V



- $A_{U,V} \neq 0 \rightarrow$ segnale di CPV da NP
 - Primo risultato da CDF (PRL 107(2011)) :
 $A_U = -0.007 \pm 0.064 \pm 0.018 \quad A_V = -0.120 \pm 0.064 \pm 0.016$
 - LHCb 1 fb⁻¹
- $$A_U = -0.055 \pm 0.036 \text{ (stat)} \pm 0.018 \text{ (syst)}$$

$$A_V = 0.010 \pm 0.036 \text{ (stat)} \pm 0.018 \text{ (syst)}$$



Vite medie in decadimenti in autostati di CP

- Altro modo per accedere a $\Delta\Gamma_s$ e ϕ_s : misura delle vite medie in decadimenti a stati finali puramente CP-pari o CP-dispari.

$$\Gamma(t) \propto (1 - \mathcal{A}_{\Delta\Gamma_s}) e^{-\Gamma_L t} + (1 + \mathcal{A}_{\Delta\Gamma_s}) e^{-\Gamma_H t}$$

$$A_{\Delta\Gamma_s} = \frac{-2\eta_f \cos\phi_s}{(1+|\lambda|^2)}$$

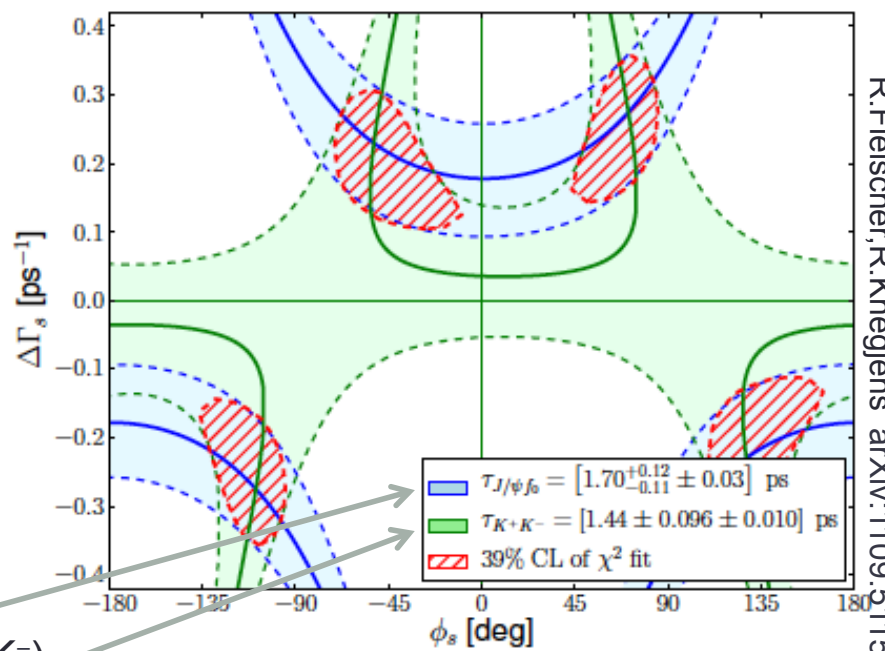
- In assenza di CPV: $\mathcal{A}_{\Delta\Gamma_s} = \pm 1$

CP-pari:	Γ_L	$B_s \rightarrow K^+K^-$
CP-dispari:	Γ_H	$B_s \rightarrow J/\psi f_0$

- Misura con singolo esponenziale dà vita media effettiva:

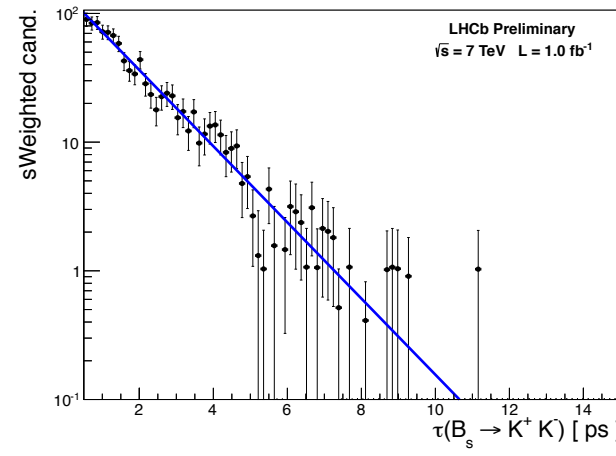
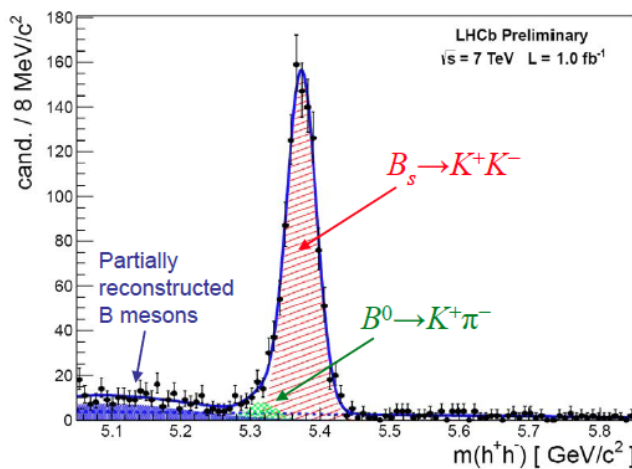
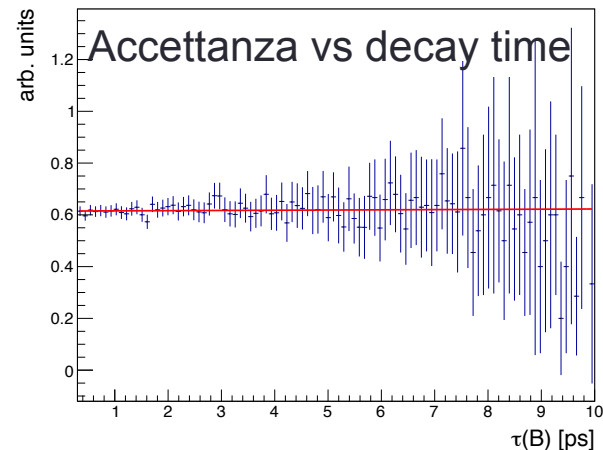
$$\tau_{KK} = \tau_{B_s^0} (1 + A_{\Delta\Gamma_s} \frac{\Delta\Gamma_s}{\Gamma_s} + O(\left(\frac{\Delta\Gamma_s}{\Gamma_s}\right)^2))$$

CDF 2011 $\tau(B_s \rightarrow J/\psi f_0)$
LHCb 2010 $\tau(B_s \rightarrow J/\psi K^+K^-)$



Lifetime $B_s \rightarrow K^+K^-$

- Due misure sui dati 2010 con approcci diversi per correggere bias sulla lunghezza di decadimento dovute a trigger e selezione.
- Nuova misura su 1 fb^{-1} minimizza le distorsioni in selezione, usa trigger dedicato.



$$\tau_{KK} = 1.468 \pm 0.046 \text{ (stat.)} \pm 0.011 \text{ (syst.)} \text{ ps}$$

In accordo con misure precedenti e previsione del MS: $\tau_{KK}^{SM} = (1.390 \pm 0.032) \text{ ps}$

Conclusioni

- Grazie agli esperimenti ai collisori adronici la CPV incomincia ad essere misurata anche il settore del B_s . Accordo col MS, ma c' è ancora spazio per la ricerca di NP.
- Misura preliminare di LHCb con $B_s \rightarrow J/\psi \phi$ su 1 fb^{-1} :

$$\begin{aligned}\Gamma_s &= 0.658 \pm 0.005 \text{ (stat)} \pm 0.007 \text{ (syst)} \text{ ps}^{-1} \\ \Delta\Gamma_s &= 0.116 \pm 0.018 \text{ (stat)} \pm 0.006 \text{ (syst)} \text{ ps}^{-1} \\ \phi_s &= -0.001 \pm 0.101 \text{ (stat)} \pm 0.027 \text{ (syst)} \text{ rad}\end{aligned}$$

- Combinata con la misura in $B_s \rightarrow J/\psi \pi\pi$:

$$\phi_s = -0.002 \pm 0.083 \text{ (stat)} \pm 0.027 \text{ (syst)} \text{ rad}$$

- I primi risultati su $B_s \rightarrow \phi\phi$ aprono buone prospettive per le ricerche ad alta luminosità.
- La misura precisa delle vite medie in diversi canali aggiungerà ulteriori informazioni su $\Delta\Gamma_s$ e ϕ_s

Backup

$\phi_s \text{ da } B_s \rightarrow J/\psi \phi$ - Decay rate

$$\frac{d^4\Gamma(B_s^0 \rightarrow J/\psi \phi)}{dt \, d\Omega} \propto \sum_{k=1}^{10} h_k(t) f_k(\Omega)$$

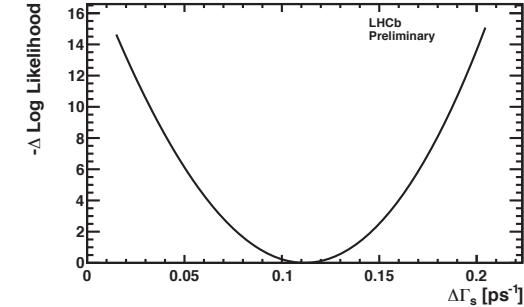
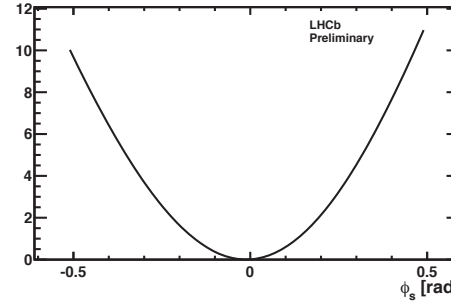
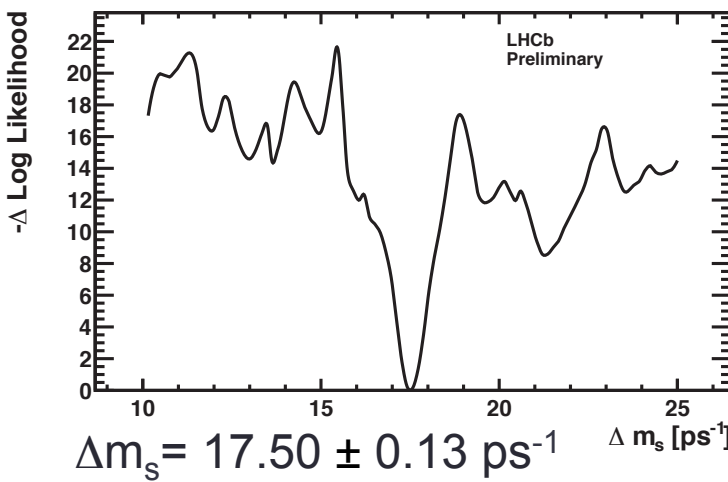
$$h_k(t) = N_k e^{-\Gamma_s t} [c_k \cos(\Delta m_s t) + d_k \sin(\Delta m_s t) + a_k \cosh(\tfrac{1}{2}\Delta\Gamma_s t) + b_k \sinh(\tfrac{1}{2}\Delta\Gamma_s t)]$$

k	$f_k(\theta, \psi, \varphi)$	N_k	a_k	b_k	c_k	d_k
1	$2 \cos^2 \psi (1 - \sin^2 \theta \cos^2 \phi)$	$ A_0(0) ^2$	1	$-\cos \phi_s$	0	$\sin \phi_s$
2	$\sin^2 \psi (1 - \sin^2 \theta \sin^2 \phi)$	$ A_\parallel(0) ^2$	1	$-\cos \phi_s$	0	$\sin \phi_s$
3	$\sin^2 \psi \sin^2 \theta$	$ A_\perp(0) ^2$	1	$\cos \phi_s$	0	$-\sin \phi_s$
4	$-\sin^2 \psi \sin 2\theta \sin \phi$	$ A_\parallel(0)A_\perp(0) $	0	$-\cos(\delta_\perp - \delta_\parallel) \sin \phi_s$	$\sin(\delta_\perp - \delta_\parallel)$	$-\cos(\delta_\perp - \delta_\parallel) \cos \phi_s$
5	$\frac{1}{2}\sqrt{2} \sin 2\psi \sin^2 \theta \sin 2\phi$	$ A_0(0)A_\parallel(0) $	$\cos(\delta_\parallel - \delta_0)$	$-\cos(\delta_\parallel - \delta_0) \cos \phi_s$	0	$\cos(\delta_\parallel - \delta_0) \sin \phi_s$
6	$\frac{1}{2}\sqrt{2} \sin 2\psi \sin 2\theta \cos \phi$	$ A_0(0)A_\perp(0) $	0	$-\cos(\delta_\perp - \delta_0) \sin \phi_s$	$\sin(\delta_\perp - \delta_0)$	$-\cos(\delta_\perp - \delta_0) \cos \phi_s$
7	$\frac{2}{3}(1 - \sin^2 \theta \cos^2 \phi)$	$ A_s(0) ^2$	1	$\cos \phi_s$	0	$-\sin \phi_s$
8	$\frac{1}{3}\sqrt{6} \sin \psi \sin^2 \theta \sin 2\phi$	$ A_s(0)A_\parallel(0) $	0	$-\sin(\delta_\parallel - \delta_S) \sin \phi_s$	$\cos(\delta_\parallel - \delta_S)$	$-\sin(\delta_\parallel - \delta_S) \cos \phi_s$
9	$\frac{1}{3}\sqrt{6} \sin \psi \sin 2\theta \cos \phi$	$ A_s(0)A_\perp(0) $	$\sin(\delta_\perp - \delta_S)$	$\sin(\delta_\perp - \delta_S) \cos \phi_s$	0	$-\sin(\delta_\perp - \delta_S) \sin \phi_s$
10	$\frac{4}{3}\sqrt{3} \cos \psi (1 - \sin^2 \theta \cos^2 \phi)$	$ A_s(0)A_0(0) $	0	$-\sin(\delta_0 - \delta_S) \sin \phi_s$	$\cos(\delta_0 - \delta_S)$	$-\sin(\delta_0 - \delta_S) \cos \phi_s$

δ_0 set to 0

LHCb: ϕ_s da $B_s \rightarrow J/\psi \phi$

Source	Γ_s [ps $^{-1}$]	$\Delta\Gamma_s$ [ps $^{-1}$]	A_{\perp}^2	A_0^2	F_S	δ_{\parallel} [rad]	δ_{\perp} [rad]	δ_s [rad]	ϕ_s [rad]
Description of background	0.0010	0.004	-	0.002	0.005	0.04	0.04	0.06	0.011
Angular acceptances	0.0018	0.002	0.012	0.024	0.005	0.12	0.06	0.05	0.012
t acceptance model	0.0062	0.002	0.001	0.001	-	-	-	-	-
z and momentum scale	0.0009	-	-	-	-	-	-	-	-
Production asymmetry ($\pm 10\%$)	0.0002	0.002	-	-	-	-	-	-	0.008
CPV mixing & decay ($\pm 5\%$)	0.0003	0.002	-	-	-	-	-	-	0.020
Fit bias	-	0.001	0.003	-	0.001	0.02	0.02	0.01	0.005
Quadratic sum	0.0066	0.006	0.013	0.024	0.007	0.13	0.07	0.08	0.027



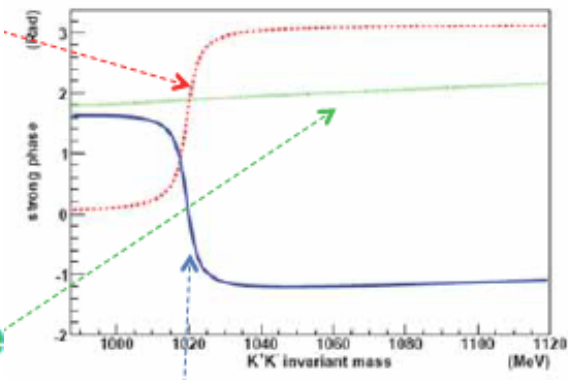
ϕ_s da $B_s \rightarrow J/\psi \phi$ - Risultati D0

$$\begin{aligned}
 \bar{\tau}_s &= 1.443^{+0.038}_{-0.035} \text{ ps}, & \Delta\Gamma_s &= 0.163^{+0.065}_{-0.064} \text{ ps}^{-1}, \\
 \phi_s^{J/\psi \phi} &= -0.55^{+0.38}_{-0.36}, & |A_0|^2 &= 0.558^{+0.017}_{-0.019}, \\
 |A_{\parallel}|^2 &= 0.231^{+0.024}_{-0.030}, & \delta_{\parallel} &= 3.15 \pm 0.22, \\
 \cos(\delta_{\perp} - \delta_s) &= -0.11^{+0.27}_{-0.25}, & F_S &= 0.173 \pm 0.036,
 \end{aligned} \tag{13}$$

LHCb: Determinazione del segno di $\Delta\Gamma_s$

K⁺K⁻ P-wave:

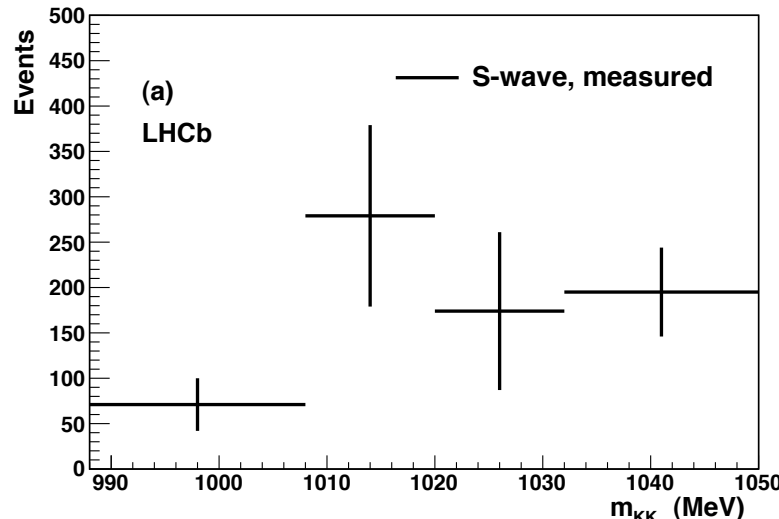
$$BW(m_{KK}) = \frac{F_r F_D}{m_\phi^2 - m_{KK}^2 - im_\phi\Gamma(m_{KK})}$$



K⁺K⁻ S-wave

Phase difference between S- and P-wave amplitudes

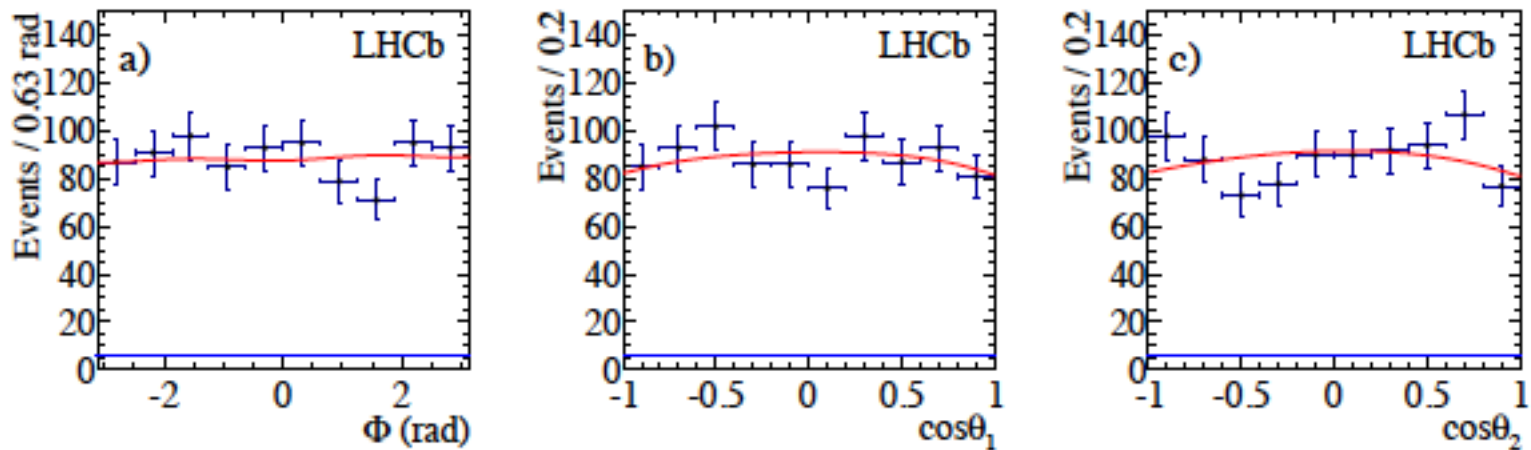
Frazione di onda S piccola ma misurabile



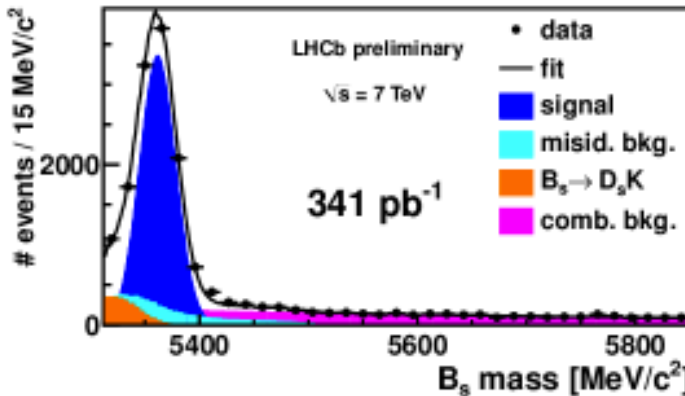
Parameter	Solution I	Solution II
ϕ_s (rad)	0.167 ± 0.175	2.975 ± 0.175
$\Delta\Gamma$ (ps ⁻¹)	0.120 ± 0.028	-0.120 ± 0.028
$F_{S;1}$	0.283 ± 0.113	0.283 ± 0.113
$F_{S;2}$	0.061 ± 0.022	0.061 ± 0.022
$F_{S;3}$	0.044 ± 0.022	0.044 ± 0.022
$F_{S;4}$	0.269 ± 0.067	0.269 ± 0.067
$\delta_{S\perp;1}$ (rad)	$-0.46^{+0.35}_{-0.42}$	$-2.68^{+0.42}_{-0.35}$
$\delta_{S\perp;2}$ (rad)	$-2.92^{+0.15}_{-0.13}$	$-0.22^{+0.13}_{-0.15}$
$\delta_{S\perp;3}$ (rad)	$-3.25^{+0.16}_{-0.18}$	$0.11^{+0.18}_{-0.16}$
$\delta_{S\perp;4}$ (rad)	$-4.11^{+0.28}_{-0.43}$	$0.97^{+0.43}_{-0.28}$

LHCb: $B_s \rightarrow \phi\phi$ Amplitude analysis

$$\begin{aligned}
 |A_0|^2 &= 0.365 \pm 0.022 \text{ (stat)} \pm 0.012 \text{ (syst)} \\
 |A_{\perp}|^2 &= 0.291 \pm 0.024 \text{ (stat)} \pm 0.010 \text{ (syst)} \\
 |A_{\parallel}|^2 &= 0.344 \pm 0.024 \text{ (stat)} \pm 0.014 \text{ (syst)} \\
 \cos(\delta_{\parallel}) &= -0.844 \pm 0.068 \text{ (stat)} \pm 0.029 \text{ (syst)}
 \end{aligned}$$



LHCb: B_s mixing in $B_s \rightarrow D_s^- \pi^+$



LHCb in 0.34 fb^{-1}

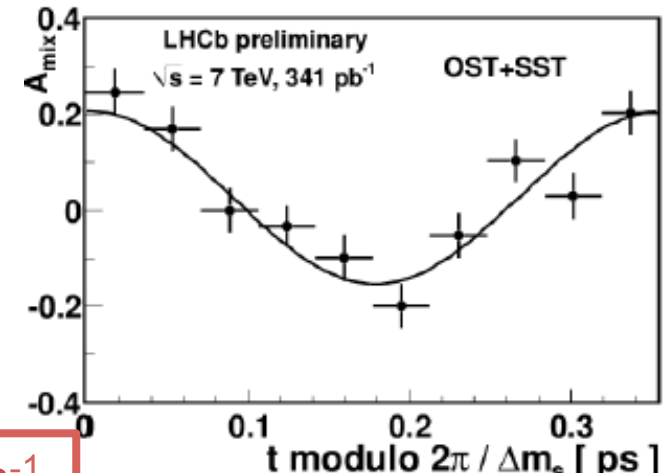
decay mode	# signal candidates
$B_s^0 \rightarrow D_s^- (\phi \pi^+) \pi^+$	4371 ± 91
$B_s^0 \rightarrow D_s^- (K^* K^-) \pi^+$	2910 ± 89
$B_s^0 \rightarrow D_s^- \pi^+$ non-resonant	1908 ± 74

- Average time resolution: $\sim 44 \text{ fs}$
- Flavour tagging (SSK not yet optimized):
 $\epsilon D^2_{\text{OS}} = 3.1 \pm 0.8 \%$
 $\epsilon D^2_{\text{SSK}} = 1.2 \pm 0.4 \%$

$$\Delta m_s = 17.725 \pm 0.041 \text{ (stat)} \pm 0.026 \text{ (syst)} \text{ ps}^{-1}$$

CDF 1 fb^{-1} :

$$\Delta m_s = 17.77 \pm 0.10 \text{ (stat.)} \pm 0.07 \text{ (syst.)} \text{ ps}^{-1}$$



LHCb 2010 su 34 pb^{-1}
 $\Delta m_s = 17.63 + 0.11 + 0.01 \text{ ps}^{-1}$